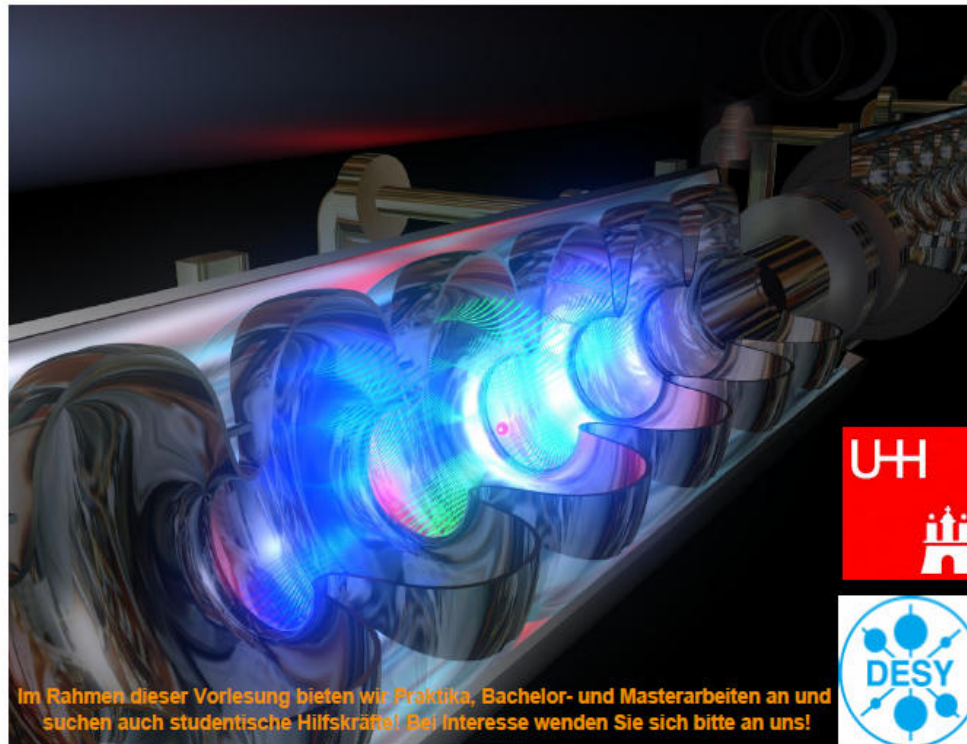


G. Grübel, M. Martins, W. Wurth, E. Weckert

Methoden moderner Röntgenphysik II

Vierstündige Vorlesung mit Übungen und Proseminar
(Seminar Raum 3)

Di 14:00 – 15:30, Do 10:15 – 11:45
Beginn: 05.04.2011, 14:00



Methoden moderner Röntgenphysik II

Vorlesungszeit: 4.4. – 16.7.

Ferien: 13.6 – 24.6.

66-360: Methoden moderner Roentgenphysik II

Di: 14:00-15:30 SemRm 3

Do: 10.15-11.45 „

Beginn: 5.4.

66-361: Uebungen

Di: 16:00-17.30 SemRm3 ab ????.

66-505: ProSeminar (for Batchelor students)

Vorbesprechung 5.4. 15:30 SemRm 3

Methoden moderner Röntgenphysik II

- 5.4. - 19.4. 2011 Wiederholung + Kohärenz Christian Gutt
- 21.4. - 3.5. 2011 Weiche Materie Stephan Roth
- 5. 5. 2011 Glass Physik Hermann Franz
- 10.5. -12.5.2011 Magnetismus Martin v. Zimmermann
- 17.5.- 14.7.2011 Festkörperspektroskopie Wilfried Wurth
- Im obigen Block Inelastische Röntgenstreuung Wolfgang Caliebe und Wolfgang Drube

Literature

Basic concepts: [Elements of Modern X-Ray Physics](#)

J. A. Nielsen and D. McMorrow, J. Wiley&Sons (2001)

[X-Ray Diffraction](#)

B.E. Warren, DOVER Publications Inc., New York

[Principles of Optics](#)

M.Born and E. Wolf, Cambridge University Press, 7th. ed.

[Soft X-rays and Extreme Ultraviolet Radiation](#)

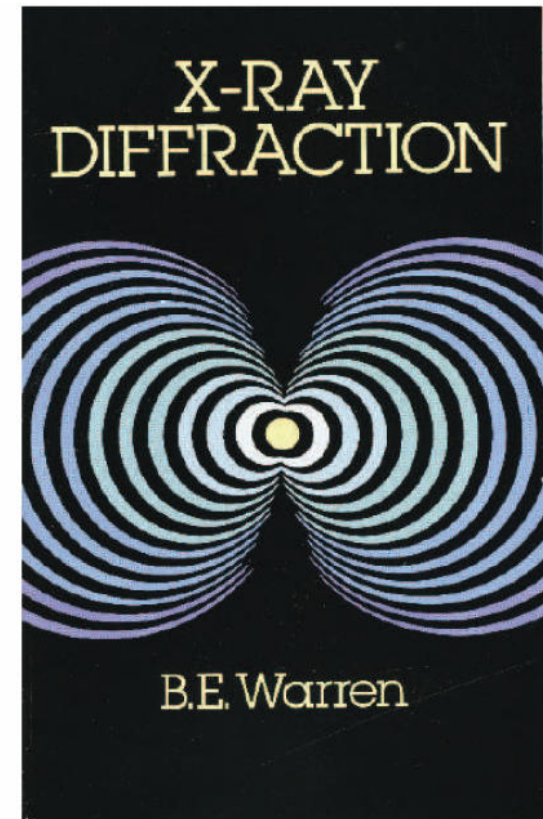
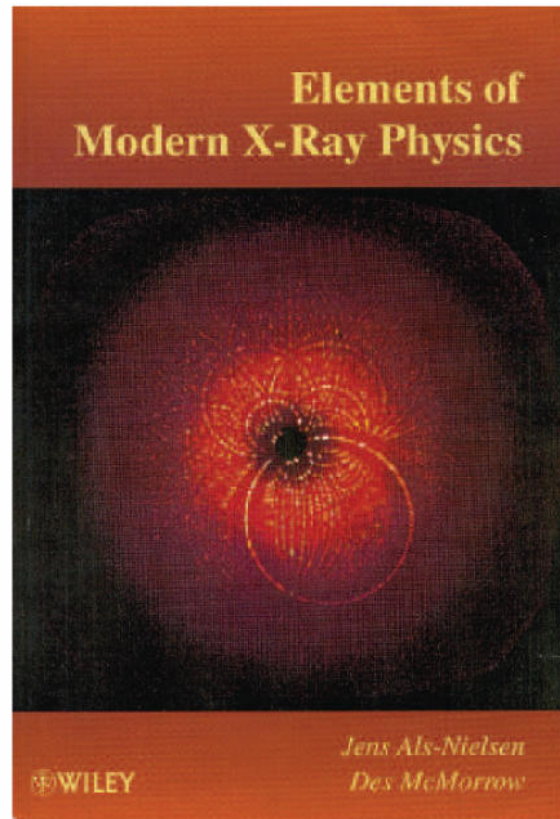
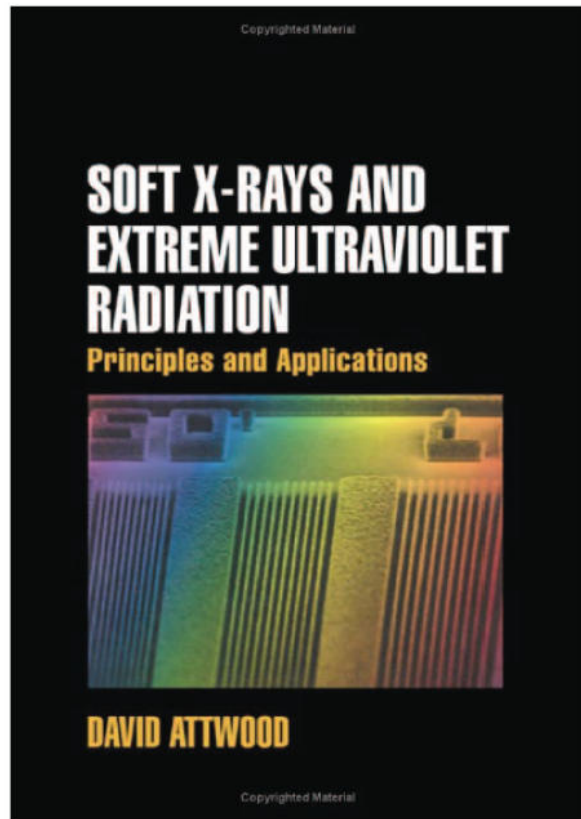
D. Attwood, Cambridge University Press (2000)

<http://www.coe.berkeley.edu/AST/sxreuv/>


[Physik der Teilchenbeschleuniger und](#)

[Synchrotronstrahlungsquellen](#)


K. Wille, Teubner Studienbücher 1996



http://hasylab.desy.de/science/studentsteaching/lectures/index_eng.html



PHOTON SCIENCE




Home General Info News & Events User Info Facilities Science Instrumentation Infrastructure Internal DOOR

Home > Science > Students@Teaching

- Students@Teaching
- Primers
- Opportunities
- Open Positions (Bachelor...)
- Lectures


Welcome to the student portal for Photon Science at DESY!

Inside you will find all the information you need about the light sources themselves and your opportunities to take part in this booming area of research.




Primers

In this section, you can find out more about the facilities themselves and about the theory that is behind the generation of synchrotron light at a storage ring and the actual experiments.




Opportunities

Click here to find more about the opportunities that DESY has in store for your academic career in photon science.



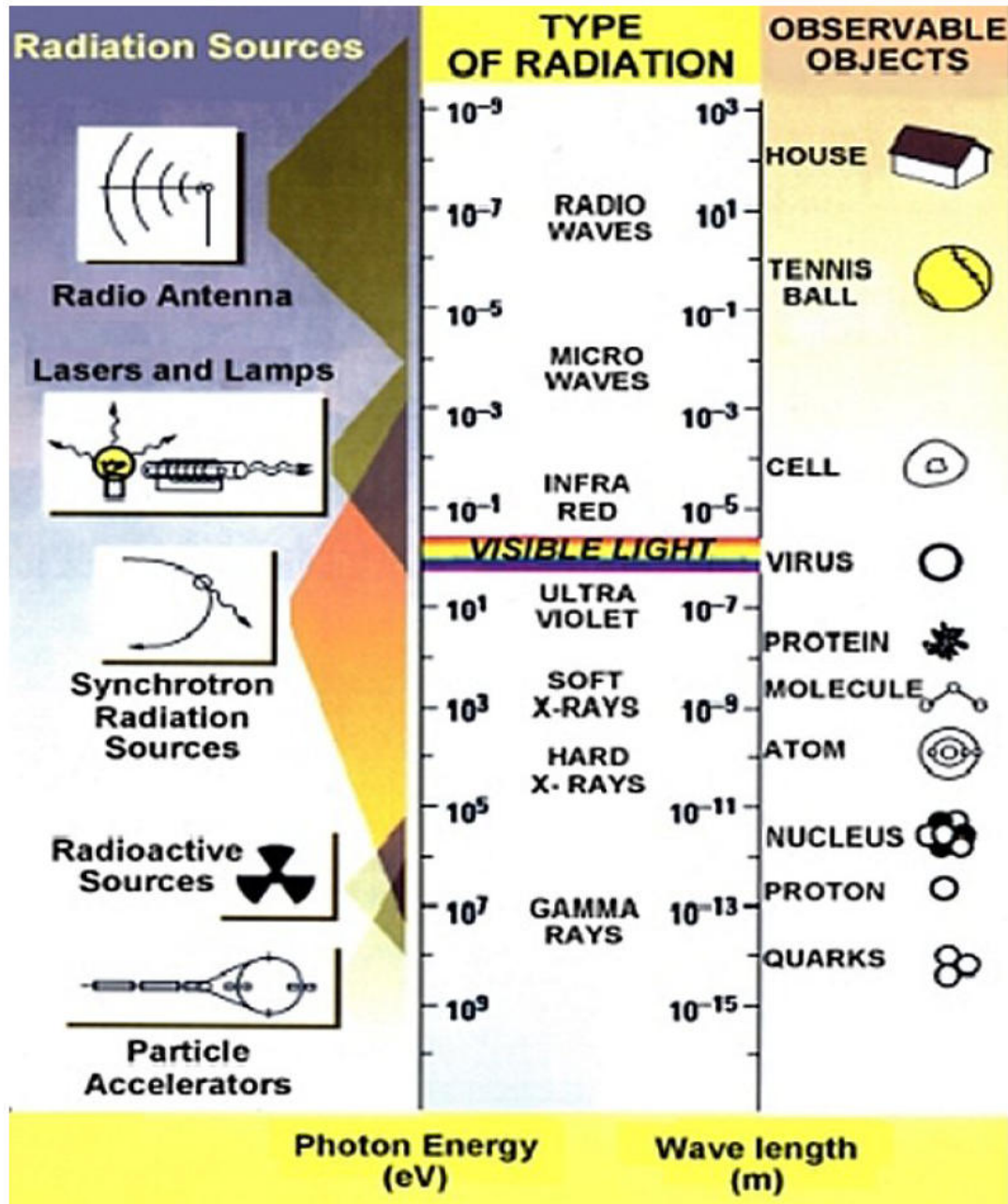
Graduate Schools

Graduate schools offer special programmes for participating PhD students. This includes lectures, colloquia, and workshops with experts from university and DESY.



Open Positions

Several groups at HASYLAB / DESY are seeking bachelor/ diploma / master / PhD students for photon science research projects. The supervision of the theses will be done in cooperation with the University of Hamburg.



X-rays

≡

electromagnetic radiation

≡

Wavelength

$$(\lambda[\text{\AA}] = 12.398/E[\text{keV}])$$

≡

Object Size

≡

Angstroms

for Condensed
Matter Research

Scattering of X-rays

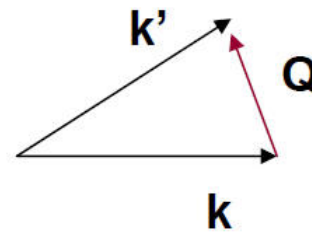
consider a monochromatic plane (electromagnetic) wave with wavevector k :

$$\mathbf{E}(\mathbf{r}, t) = \epsilon E_0 \exp\{i(\mathbf{k}\mathbf{r} - \omega t)\}$$

elastic scattering:

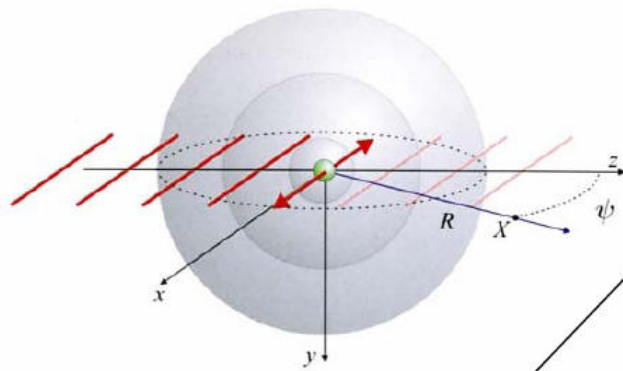
$$\hbar \mathbf{k}' = \hbar \mathbf{k} + \hbar \mathbf{Q}$$

with $|\mathbf{k}| = 2\pi/\lambda$



Scattering by a single electron:

$$E_{\text{rad}}(\mathbf{R}, t)/E_{\text{in}} =$$



phase shift of π btw. incident and radiated field

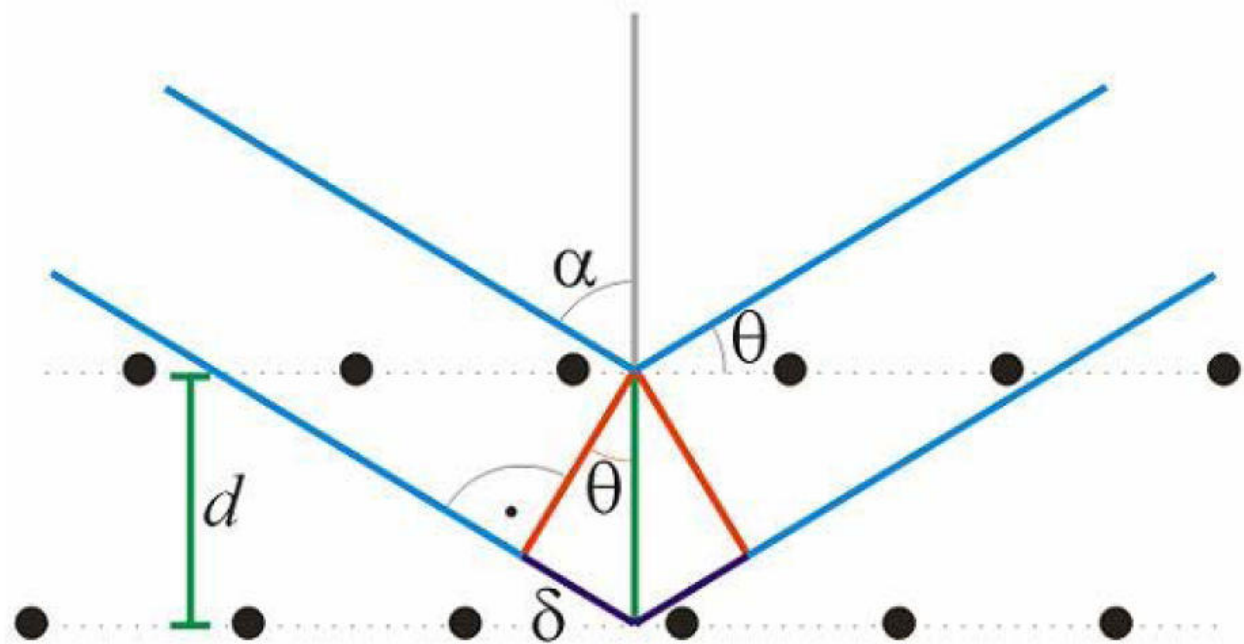
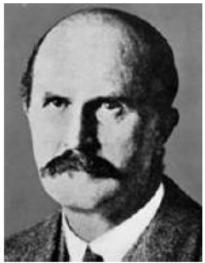
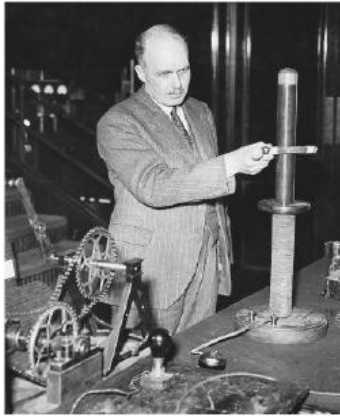
$$-\left(\frac{e^2}{4\pi\epsilon_0 mc^2}\right) \exp(ikR)/R \cos\psi$$

spherical wave

thomson scattering length r_0

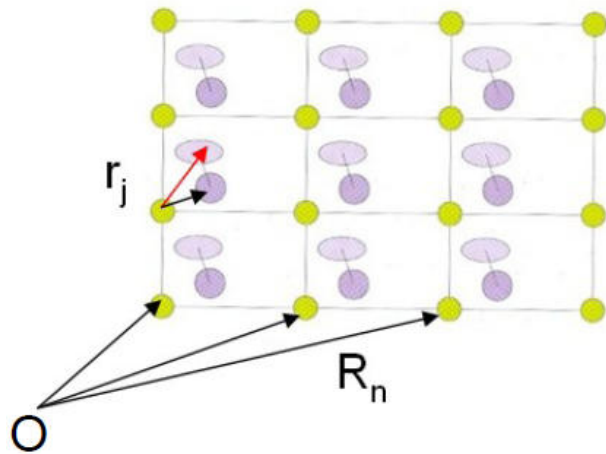
$$(\approx 2.82 \cdot 10^{-5} \text{ \AA})$$

Bragg's Law



scattering intensity only if: $n\lambda = 2d \sin(\Theta)$

scattering by a crystal:



$$r_j = R_n + r_j$$

lattice vector + atomic position in lattice

$$F^{\text{crystal}}(Q) = \underbrace{\sum_{r_j} f_j(Q) \exp(iQr_j)}_{\text{unit cell structure factor}} \underbrace{\sum_{R_n} \exp(iQR_n)}_{\text{lattice sum}}$$

$$I_s = r_o^2 F(Q) F^*(Q) P$$

lattice sum \equiv phase factor of order unity or N (number of unit cells) if

$$Q \cdot R_n = 2\pi \times \text{integer} \quad \text{and} \quad Q = G$$

Reciprocal Lattice

1-D: defined by (iia): $\mathbf{a}_i \cdot \mathbf{a}_j^* = 2\pi \delta_{ij}$

2-D and 3-D:

$$\mathbf{a}_1^* = (2\pi/v_c) \mathbf{a}_2 \times \mathbf{a}_3$$

$$\mathbf{a}_2^* = (2\pi/v_c) \mathbf{a}_3 \times \mathbf{a}_1$$

$$\mathbf{a}_3^* = (2\pi/v_c) \mathbf{a}_1 \times \mathbf{a}_2$$

with $v_c = \mathbf{a}_1 \cdot (\mathbf{a}_2 \times \mathbf{a}_3)$

note: in 2-D \mathbf{a}_3 is chosen to be a unit vector normal to the 2-D plane spanned by \mathbf{a}_1 and \mathbf{a}_2 .

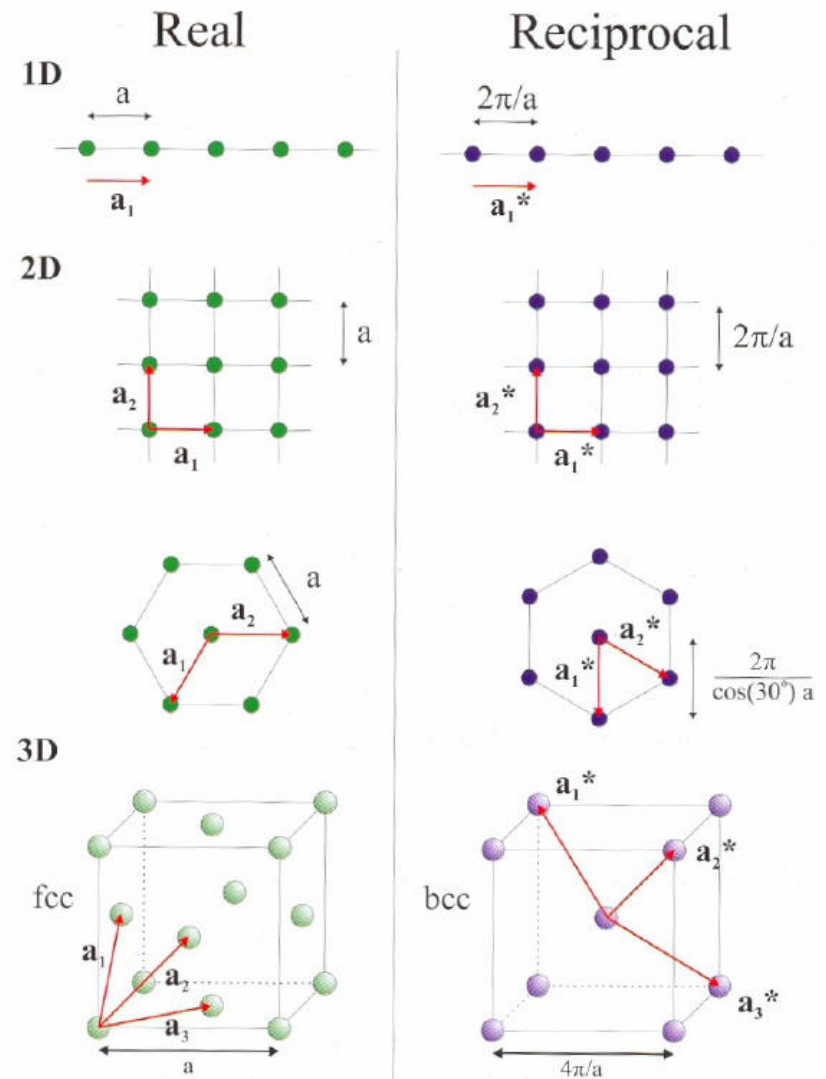
Example: fcc lattice

$$\mathbf{a}_1 = (a/2)(y' + z'), \quad \mathbf{a}_2 = (a/2)(z' + x'), \quad \mathbf{a}_3 = (a/2)(x' + y')$$

$$\mathbf{a}_1^* = (4\pi/a) (y/2 + z/2 - x/2)$$

$$\mathbf{a}_2^* = (4\pi/a) (z/2 + x/2 - y/2)$$

$$\mathbf{a}_3^* = (4\pi/a) (x/2 + z/2 - y/2)$$



• The Ewald sphere

Visualisation of diffraction effects in reciprocal space (a).

Laue condition requires $Q = G = ha_1^* + ka_2^*$

Design sphere with radius k pointing to origin (b).

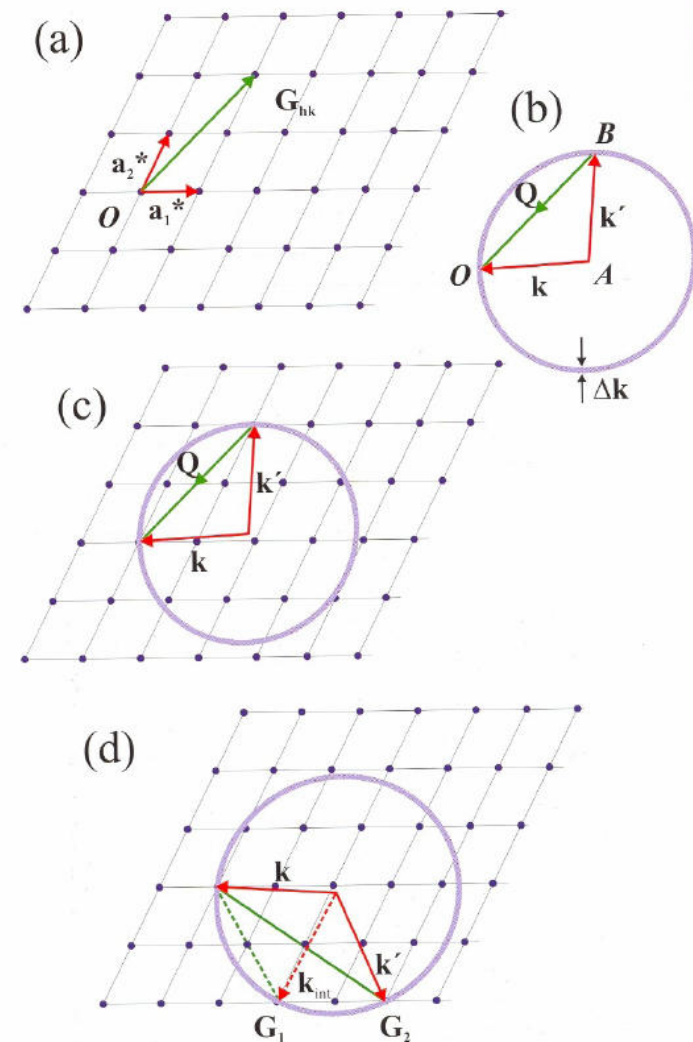
If any reciprocal lattice point falls on the circle then the Laue conditions is fulfilled (c).

Intensity is observed if the detector is placed in the direction of k' (c).

A rotation about O corresponds to a rotation of the crystal.

Note: More than one reciprocal lattice point can lie on the sphere \equiv multiple scattering.

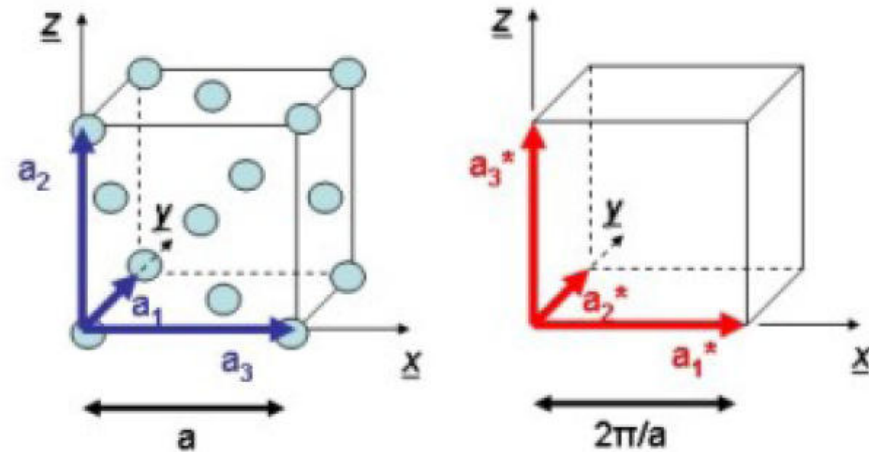
If the beam is not monochromatic the sphere adopts the corresponding width. In the white beam case all spots are ultimately detected.



unit cell structure factor:

$$\sum_{r_j} f_j(Q) \exp(iQr_j)$$

e.g. fcc lattice: $r_1 = 0$
 $r_2 = \frac{1}{2} (a_1 + a_2)$
 $r_3 = \frac{1}{2} (a_2 + a_3)$
 $r_4 = \frac{1}{2} (a_3 + a_1)$



$$a_1 = a\hat{x}; a_2 = a\hat{y}; a_3 = a\hat{z}; v_c = a^3; a_1^* = (2\pi/a)\hat{x}; a_2^* = (2\pi/a)\hat{y}; a_3^* = (2\pi/a)\hat{z}$$

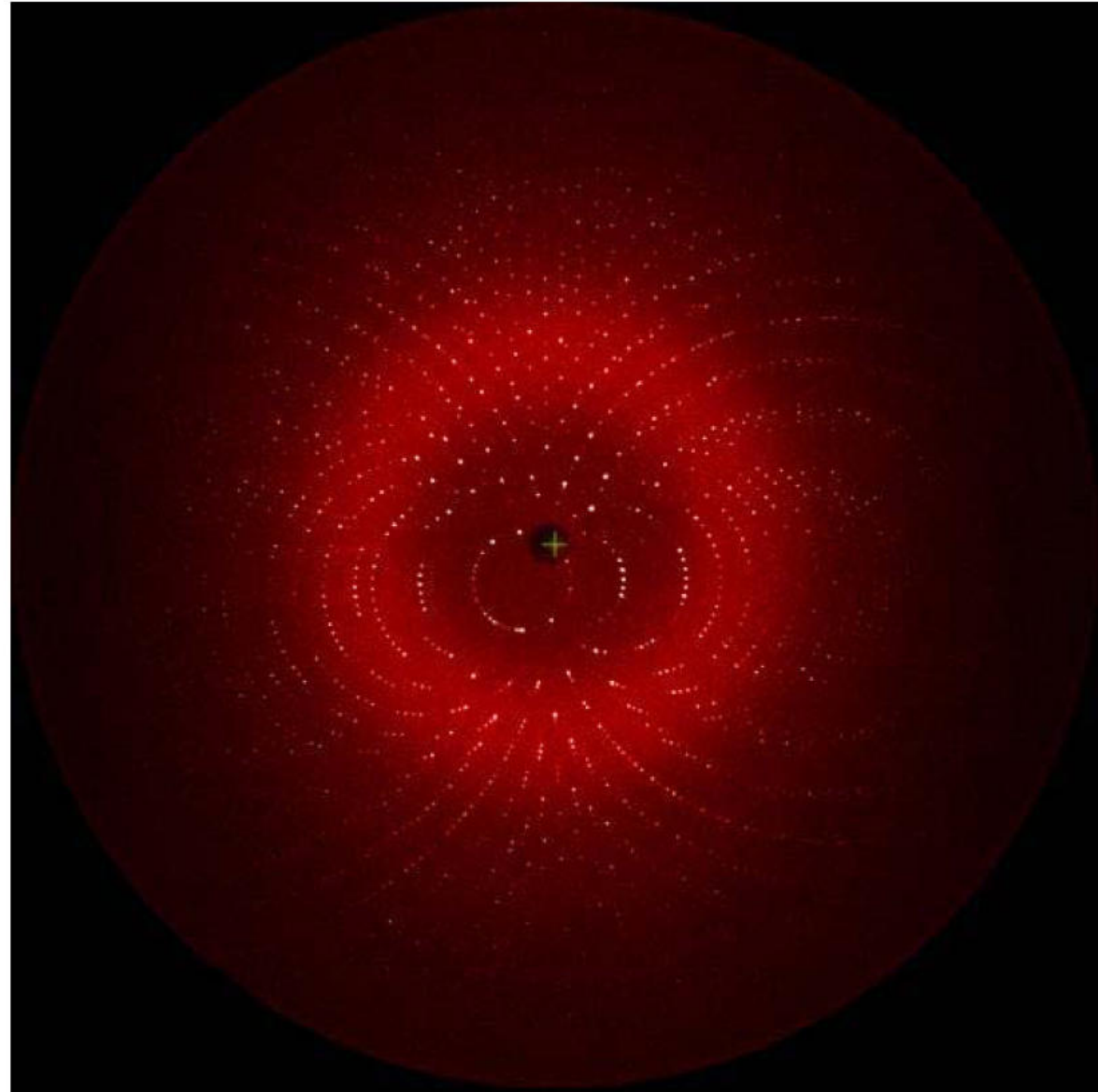
$$F_{hkl}^{fcc} = f(Q) \sum \exp(iQr_j)$$

$$\text{with } Q = G = h a_1^* + k a_2^* + l a_3^*$$

$$= f(Q) \{ 1 + e^{i\pi(h+k)} + e^{i\pi(k+l)} + e^{i\pi(l+h)} \} \quad (\text{£})$$

$$= f(Q) \times \begin{cases} 4 & \text{if } h, k, l \text{ are all even or odd} \\ 0 & \text{otherwise} \end{cases}$$

Modern Protein Crystallography

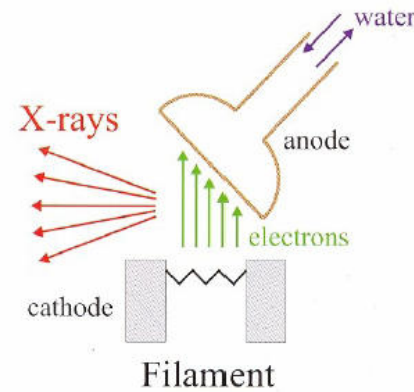


Sources of X-Rays

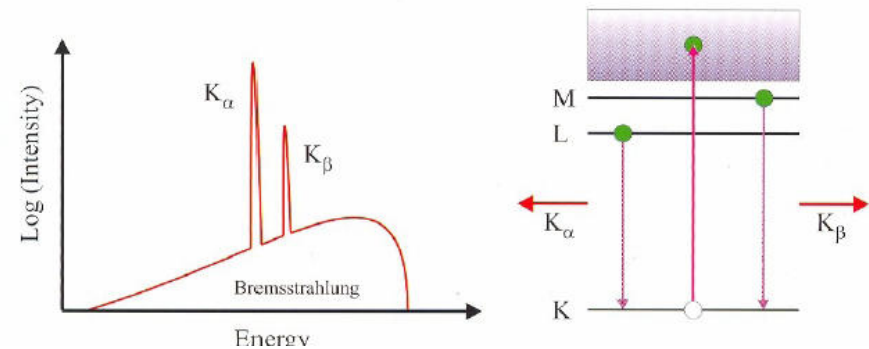
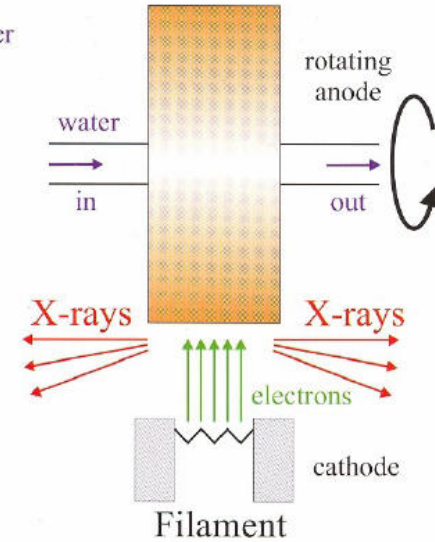
- 1895 discovered by W.C. Röntgen
- 1912 First diffraction experiment (v. Laue)
- 1912 Coolidge tube (W.D. Coolidge, GE)
- 1946 Radiation from electrons in a synchrotron, GE, Physical Review, 71,829(1947)



Coolidge Tube



Rotating Anode



HochleistungsRöntgenröhren

- Einfach zu handhaben
- Einsetzbar in fast jedem Labor
- Typisch nur zwei Anregungsenergien:
Mg $K\alpha$ (1.2 keV) und Al $K\alpha$ (1.4 keV)
- Nicht durchstimmbar
- geringe Leistung
- schlechte Auflösung; ΔE 1-2 eV (natürliche Linienbreite der atomaren Übergänge)

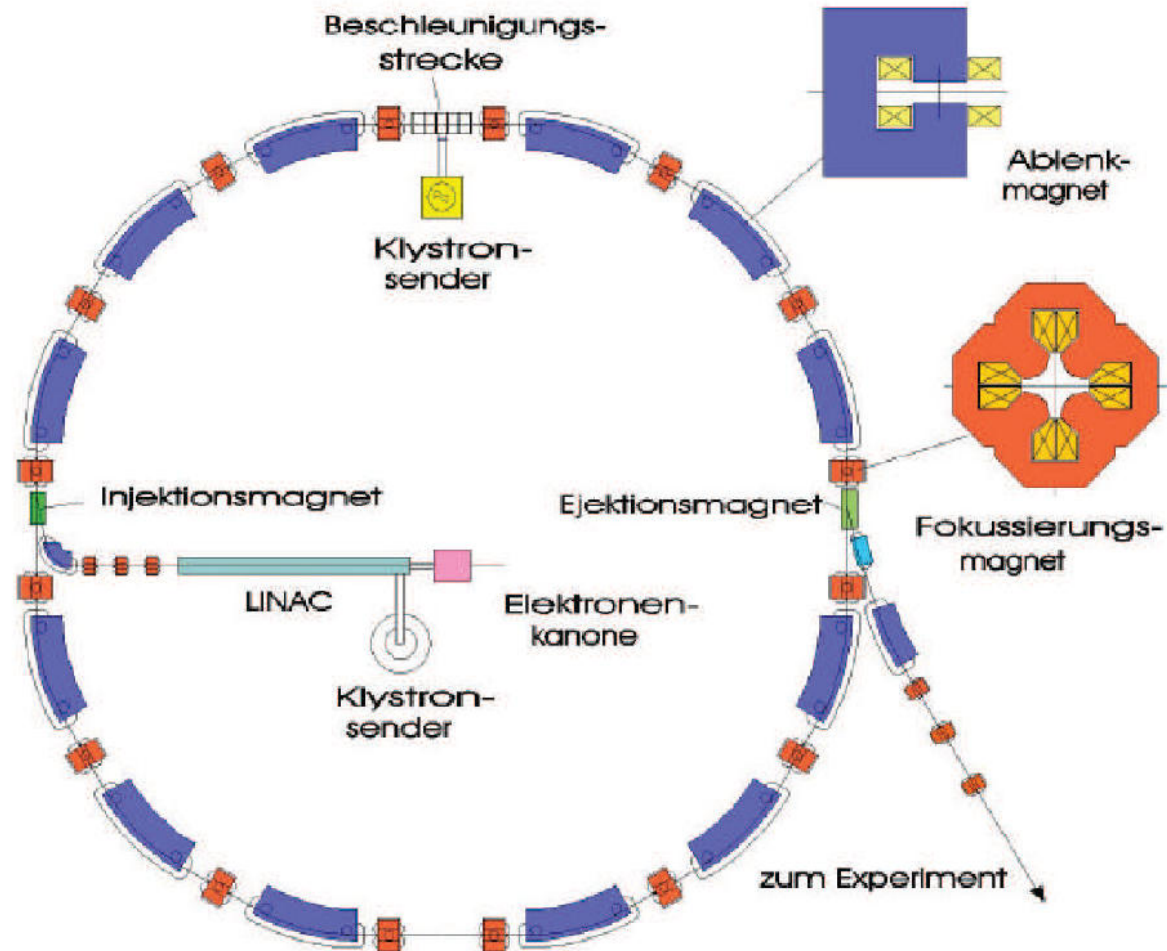
Synchrotronstrahlung

- Photonenenergie *frei* wählbar zwischen dem Infraroten (THz Strahlung) und harter Röntgenstrahlung (>100 keV)
- Sehr hohe Photonenzahlen
- Polarisation der Strahlung frei wählbar
- Großgerät

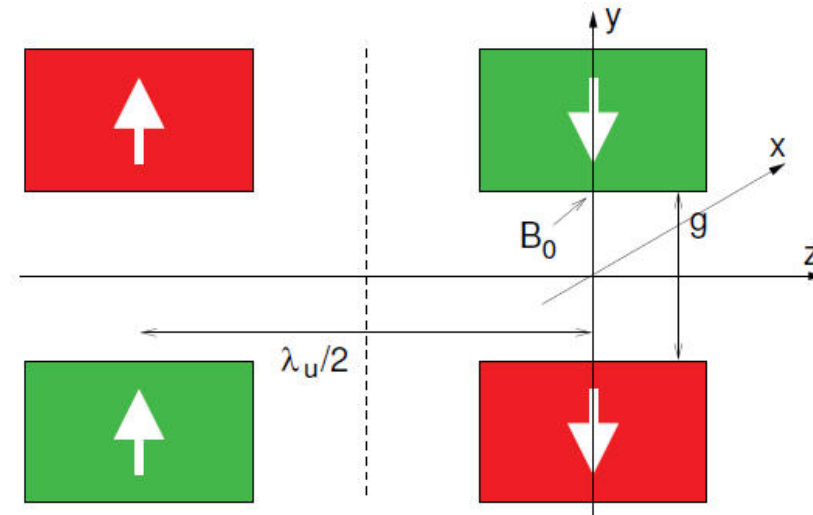
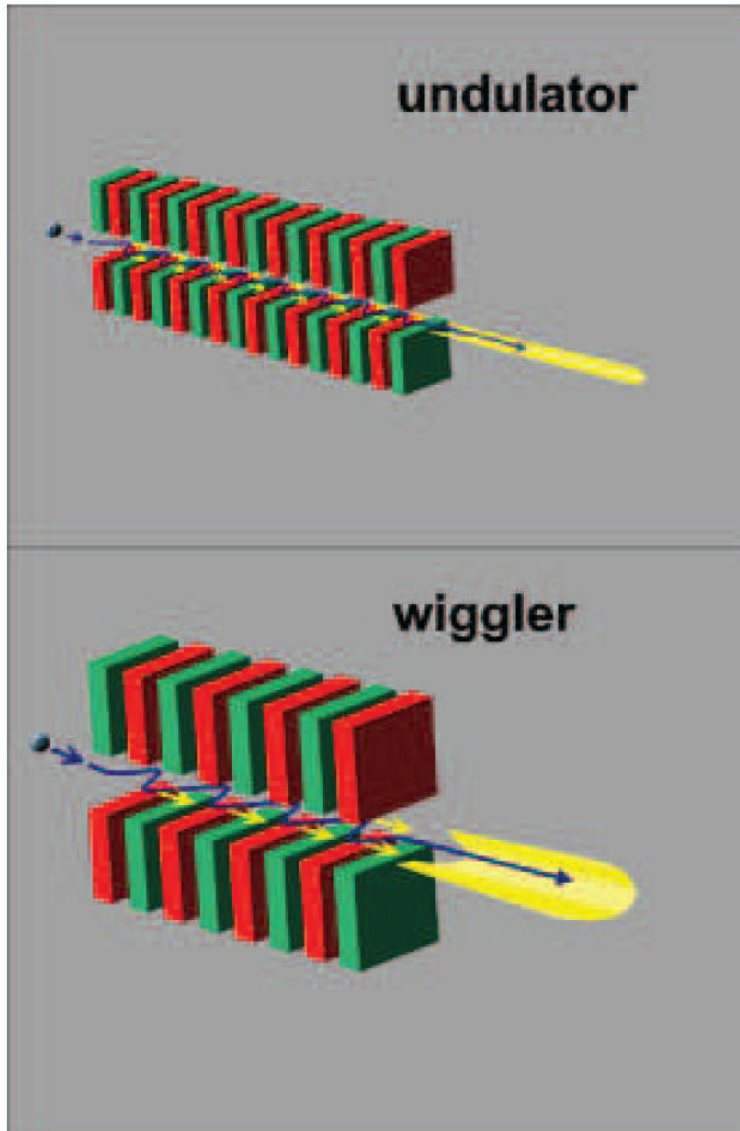
Freie Elektronen Laser (FEL)

- Laserstrahlung im Röntgenbereich
- Extrem hohe Photonendichten
- Sehr kurze Lichtpulse (einige 10 fs)
- Photonenenergien in der Zukunft bis zu 14 keV

Aufbau eines Synchrotrons



Insertion Devices (IDs)



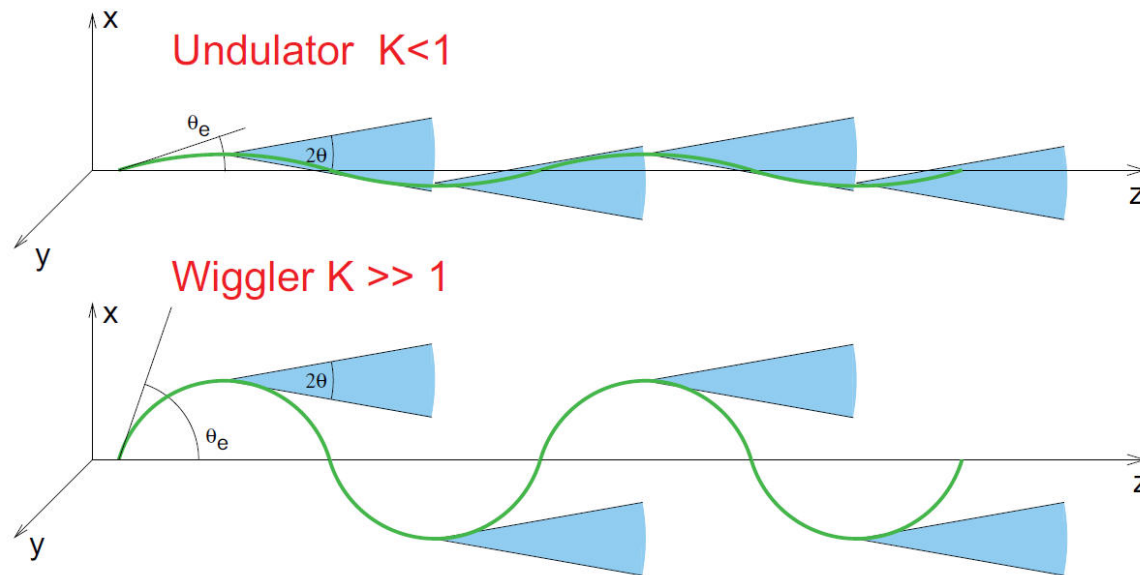
$$\bar{B} = \frac{B_0}{\cosh \pi \frac{g}{\lambda_u}}$$

$$B_y(z) = \bar{B} \cos \frac{2\pi}{\lambda_u} z$$

$$v_x = \frac{Kc}{\gamma} \sin \frac{2\pi}{\lambda_u} z$$

mit $K := \frac{e\bar{B}\lambda_u}{2\pi m_0 c}$

$$|\theta_{e,max}| \approx \frac{K}{\gamma} \quad \gamma = \left(1 - \frac{v^2}{c^2}\right)^{-1/2}$$



Undulator Parameter

Charakteristischer Abstrahlwinkel der SR: $\theta = 1/\gamma$, $\theta_e = K/\gamma$

$K \leq 1$ Undulator

Abstrahlkegel der einzelnen Magnetpole überlappen \rightarrow kohärente Überlagerung \rightarrow Interferenzeffekte

$K \gg 1$ Wiggler

Abstrahlkegel der einzelnen Magnetpole überlappen nicht \rightarrow Nicht kohärente Überlagerung \rightarrow Emittierte Strahlung entspricht weitgehend der eines Dipols, aber mit $2 \cdot N$ facher Intensität.

Wellenlänge λ der Undulatorstrahlung:

$$\lambda = \frac{\lambda_u}{2\gamma^2} (1 + \gamma^2 \theta^2) = \frac{\lambda_u}{2\gamma^2} \left(1 + \frac{K^2}{2} + \gamma^2 \theta^2 \right) \quad (5)$$

Vergleich der verschiedenen Quellen

Dipol:	P
Wiggler:	$N \cdot P$
Undulator:	$N^2 \cdot P$

Beim FEL werden wir sehen, daß für diesen dann

$$N^2 \cdot N_e^2$$

gilt

- Eine wichtige Größe zur Charakterisierung von Synchrotronstrahlung ist die Brillianz

$$B := \frac{\Delta P}{\Delta A \cdot \Delta \Omega}$$

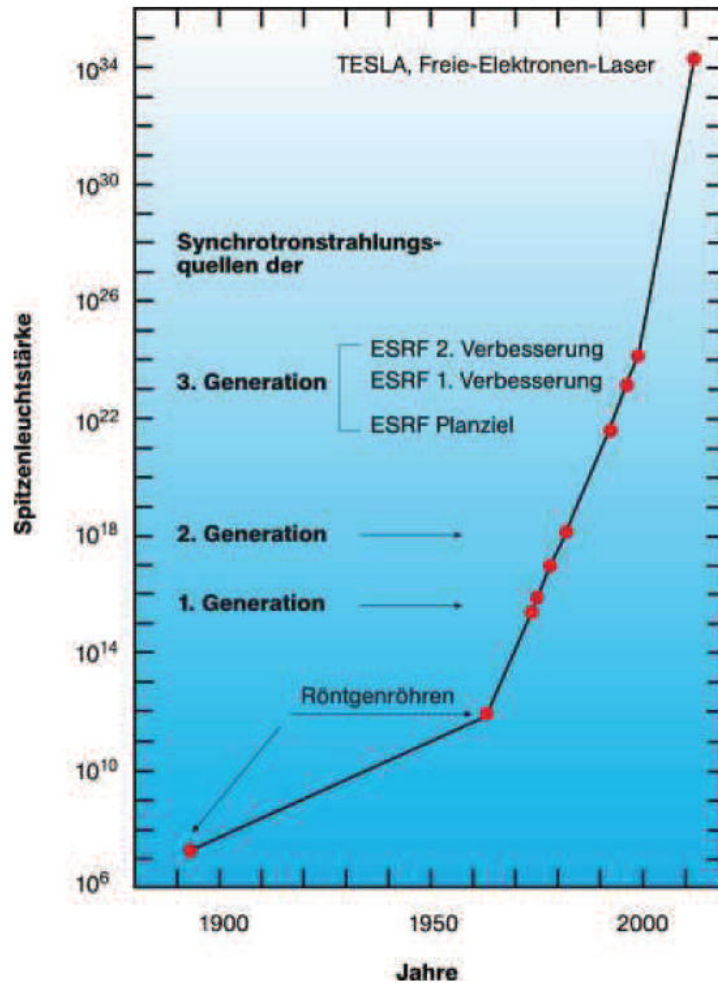
Spektrale Brillianz

$$B_{\Delta\omega/\omega} := \frac{\Delta P}{\Delta A \cdot \Delta \Omega \cdot \Delta\omega/\omega}$$

- Dichte der Photonen im transversalen Phasenraum
- Um eine möglichst hohe Photonendichte am Ort des Experimentes zu erreichen, muß die Brillianz so groß wie möglich sein
- Größtmöglich Brillianz → Laser
- Einheit

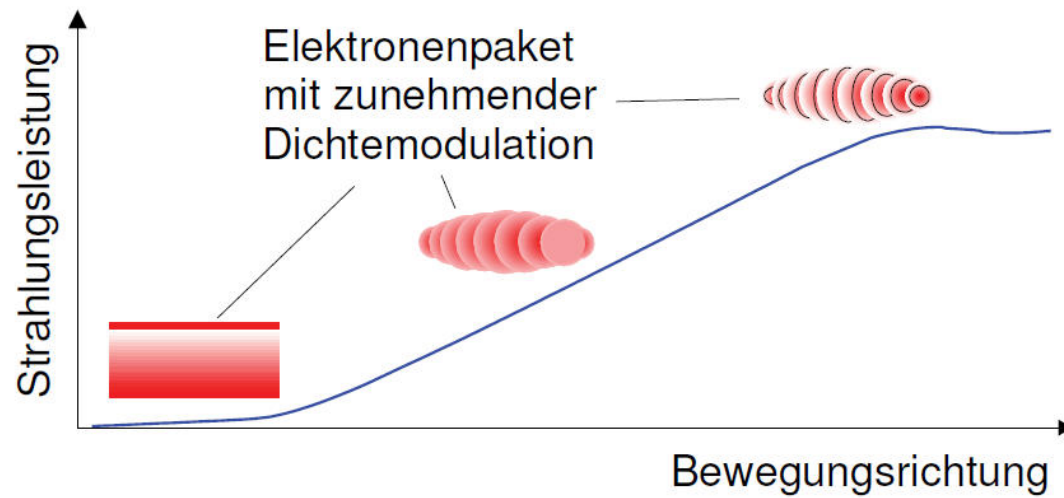
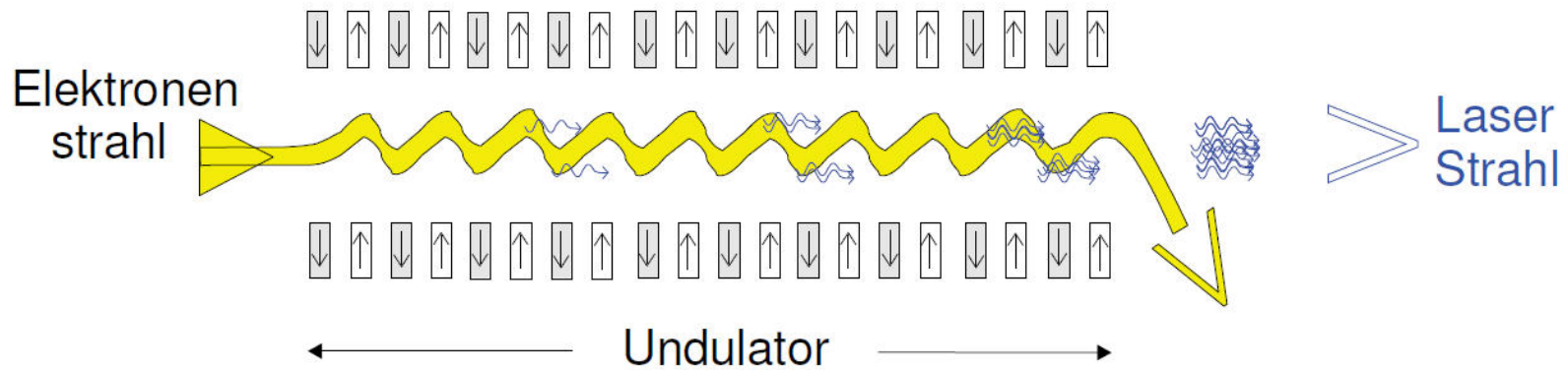
$$[B_{\Delta\omega/\omega}] = \frac{\textit{Photonen}}{s \cdot \textit{mm}^2 \cdot \textit{mrad}^2 \cdot 0.1\% \textit{BW}}$$

Brillanz



- Entwicklung der Brillanz verschiedener Röntgenquellen mit der Zeit

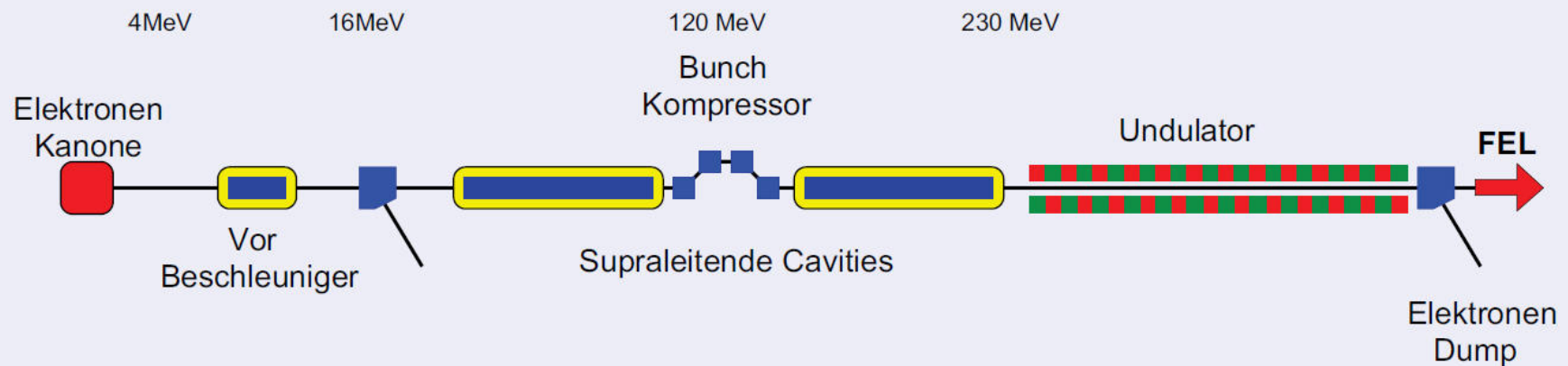
Das FEL Prinzip



Aufbau eines FEL

- Elektronenquelle: Erzeugung eines Elektronenbunches
- Beschleuniger: Beschleunigung auf relativistische Energien
- Magnetstruktur: Erzeugung der Röntgenstrahlung – Synchrotronstrahlung
- Röntgenoptik: Transport der FEL-Strahlung zum Experiment

Experiment



Realisierung eines FEL

Erster VUV-FEL

FLASH am Hasylab/DESY

Eigenschaften XFEL

- Typische Länge des Beschleunigers: 30-2000 m
- Länge der Magnetstruktur: 30-300 m
- Photonenenergiebereich 10 eV - 10 keV
- Pulslängen 10 – 100 fs (jetzt)



- Zahl der Photonen, die man an aktuellen Synchrotronquellen in 1 s bekommt, erzeugt ein FEL in 50 fs !

